

## 論文

UDC 669.14.018.295 : 669.15'781-194 : 539.54 : 546.27'17 : 620.186.2

## 鋼中Bの分布状態におよぼす熱間圧延および熱処理の影響\*

渡辺 征一\*\*・大谷 泰夫\*\*\*・邦武 立郎\*\*\*\*

## The Influence of Hot Rolling and Heat Treatments on the Distribution of Boron in Steel

Seiichi WATANABE, Hiroo OHTANI, and Tatsuro KUNITAKE

## Synopsis:

The distribution of boron affected by hot rolling and heat treatments has been studied in an 80 kg/mm<sup>2</sup> grade high tensile strength steel using the technique of boron autoradiography, which can distinguish boron-rich precipitates (BN) from atomic boron segregated to grain boundaries.

A much faster velocity of moving grain boundaries due to hot rolling than that of the migration of boron atoms in austenite does not allow boron atoms to follow the moving boundaries to segregate and thus only widely-spread distribution of boron along the deformed boundaries results. Since the velocity of the boundary migration due to recrystallization after hot rolling is not so high as that of the boundary deformation, the boundaries sweeping the matrix may trap the boron atoms which have spread widely along the boundaries before the boundaries sweep. Consequently boron atoms segregate intensively along the austenite grain boundaries after the recrystallization.

In specimens quenched from 1300°C, boron atoms are observed to segregate to austenite grain boundaries but direct observations of thin foils prove no boron-precipitates on the boundaries. Reheating above  $Ac_3$  after quenching from 1300°C, boron-rich precipitates (BN) form on the prior austenite grain boundaries. The intensity of fission tracks of those precipitates in low nitrogen (30 ppm) steel is much weaker than those in high nitrogen steel. At this stage the segregation of boron to the boundaries of austenite grains formed by reaustenitizing is not observed in high nitrogen steel while it is done in low nitrogen steel.

Reheating, to 1000°C, the high nitrogen steel containing an adequate amount of Al after quenching from 1300°C results in the reduction of the intensity and density of fission tracks of boron-rich precipitates (BN) and the segregation of boron atoms to the boundaries of austenite grains. Taking the results of previous paper into account, it is considered that heating at 1000°C results in the dissociation of boron precipitates (BN) on the prior austenite grain boundaries by the reaction of  $Al + BN = AlN + B$  and thus boron segregates austenite grain boundaries.

## 1. 緒 言

鋼中のBの分布状態はBと熱中性子との反応を利用したフィッショントラックエッティング法(以下FTエ法)によつて観察可能である。近年この方法を用いて、鋼中のBの分布状態を調査する実験が多数行なわれている<sup>1)~7)</sup>。しかしながらこの方法を用いて熱間加工および熱処理中のBの挙動を系統的に観察した例はきわめて稀である。著者らは前報においてB鋼の焼入性と圧延条件の関係を明らかにしたが<sup>8)</sup>、圧延から熱処理にいたるBの

分布の系統的な観察は、これに対しさらに直接的な実験的検証を与えるものである。

また熱間加工中のBの挙動を観察することによつて、直接焼入れ法あるいは熱延鋼板にB鋼を適用するためのきわめて重要な知見が得られる。

本論文は以上のことと勘案し、熱間加工直後および各種熱処理中のBの分布状態をフィッショントラックエッティング法によつて観察するとともに、Bの粒界偏析挙動について考察したものである。

\* 昭和51年2月17日受付 (Received Feb. 17, 1976)

\*\* 住友金属工業(株)中央技術研究所 (Central Research Laboratory, Sumitomo Metal Industry, 1-3 Hondori Nishinagase Amagasaki 660)

\*\*\* 住友金属工業(株)中央技術研究所 工博 (Central Research Laboratory, Sumitomo Metal Industry)

\*\*\*\* 住友金属工業(株)中央技術研究所 理博 (Central Research Laboratory, Sumitomo Metal Industry)

Table 1. Chemical composition of materials (wt%).

| Steel | C    | Si   | Mn   | P     | S     | Cu   | Ni   | Cr   | Mo   | V     | Sol Al | N      | B      | Characteristics |
|-------|------|------|------|-------|-------|------|------|------|------|-------|--------|--------|--------|-----------------|
| A58   | 0.11 | 0.29 | 0.85 | 0.009 | 0.008 | 0.25 | 1.02 | 0.39 | 0.46 | 0.03  | 0.074  | 0.0107 | 0.0025 | High N          |
| A59   | 0.11 | 0.29 | 0.88 | 0.006 | 0.009 | 0.21 | 1.30 | 0.50 | 0.49 | 0.03  | 0.064  | 0.0027 | 0.0018 | Low N           |
| A61   | 0.11 | 0.33 | 0.86 | 0.008 | 0.008 | 0.25 | 1.02 | 0.39 | 0.45 | 0.03  | 0.076  | 0.0023 | 0.0022 | Low N           |
| A89   | 0.11 | 0.25 | 0.80 | 0.010 | 0.011 | 0.22 | 0.93 | 0.44 | 0.39 | 0.025 | 0.074  | 0.0074 | 0.0020 | High N          |

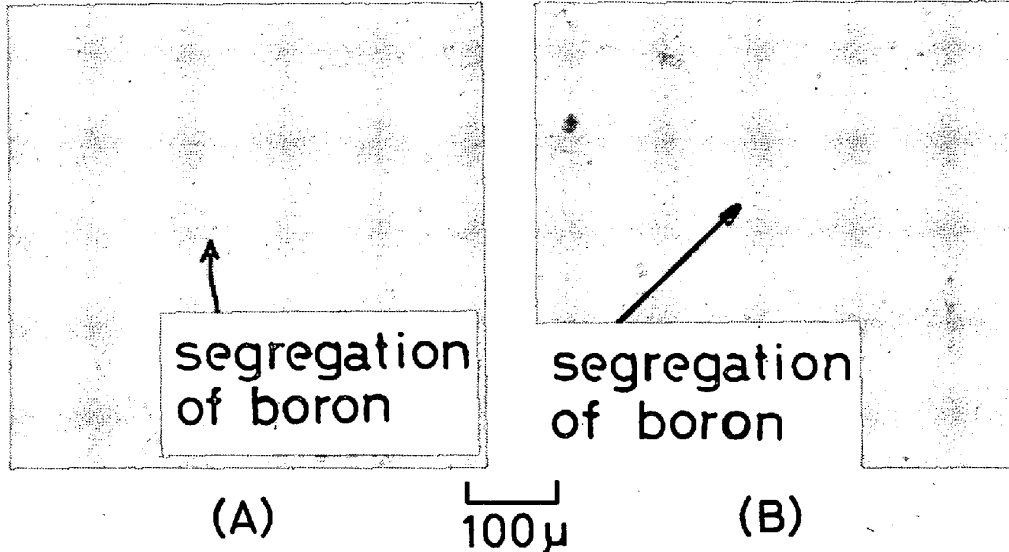


Photo. 1. Images of fission tracks of boron atoms in steels A89 and A59. Heat treatments:  $1300^{\circ}\text{C} \times 1\text{hr}$  WQ. (A) : A89 (N : 74 ppm, B : 20 ppm)  
(B) : A59 (N : 27 ppm, B : 18 ppm)

## 2. 実験内容

実験に用いた鋼の化学組成を Table 1 に示す。A58 (N : 107 ppm) および A89 (N : 74 ppm) の高N鋼は大気雰囲気中で、また A59 (N : 27 ppm) および A61 (N : 23 ppm) の低N鋼は真空中でそれぞれ高周波溶解炉によつて溶製した。ベース組成はいずれも Cu-Ni-Cr-Mo-V 系の  $80 \text{ kg/mm}^2$  高張力鋼に相当している。A58 および A61 は、 $1300$  および  $1000^{\circ}\text{C}$  に  $1\text{hr}$  加熱し圧延後、仕上温度から水冷した。また A89 および A59 は圧下を加えず、圧延前の加熱に相当する熱履歴のみ加えた。これらの試験片は通常の焼入温度  $930^{\circ}\text{C}$  に  $20\text{ min}$  保持し水冷する1回焼入れ、および  $930$ ,  $1000$  および  $1100^{\circ}\text{C}$  に  $20\text{ min}$  保持し水冷(1回目焼入れ)後、 $930^{\circ}\text{C}$  に  $20\text{ min}$  保持して水冷(2回目焼入れ)する2回焼入れをそれぞれ行なつた。これらの試料の各段階のBの分布状態を F T E 法により観察した。またBの粒界への偏析を確認するため、一部の試料について、粒界近傍の薄膜直接観察を行なつた。

## 3. 結 果

$1300^{\circ}\text{C}$   $1\text{hr}$  に加熱し水冷した鋼 A89 および A59

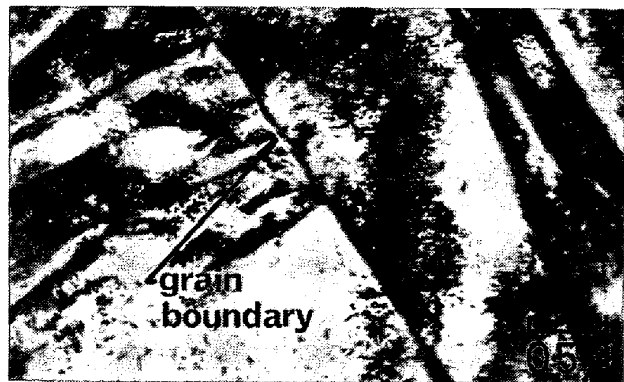


Photo. 2. The transmission electron micrograph of the boundary regions of steel A89 quenched from  $1300^{\circ}\text{C}$ .

のBのF T E像を Photo. 1 に示す。N含有量によらず A89 (N : 74 ppm) および A59 (N : 27 ppm) ともに  $1300^{\circ}\text{C}$  に加熱した時に生成したオーステナイト(以下γ)粒界にそつて、Bが偏析していると考えられる。“偏析”あるいは“微細な析出物”が判定することは容易でない。しかし、① Photo. 2 に示すように Photo. 1と同一の熱処理を行なつた A89 の薄膜直接観察を行なつても、粒界近傍に析出物は認められない。また粒界近傍の回折パターンについても、フェライト以外の第2

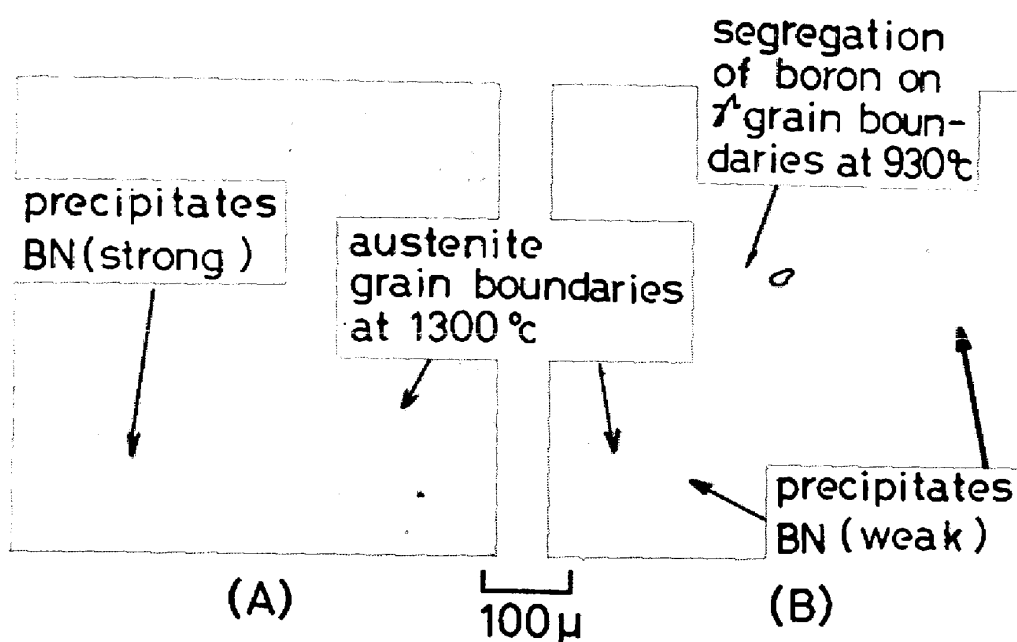


Photo. 3. Images of fission tracks of boron atoms in steels A89 and A59. Heat treatment:  $1300^{\circ}\text{C} \times 1\text{hr WQ} + 930^{\circ}\text{C} \times 20\text{ min WQ}$ . (A) : A89 (N : 74ppm, B : 20ppm)  
(B) : A59 (N : 27ppm, B : 18ppm).

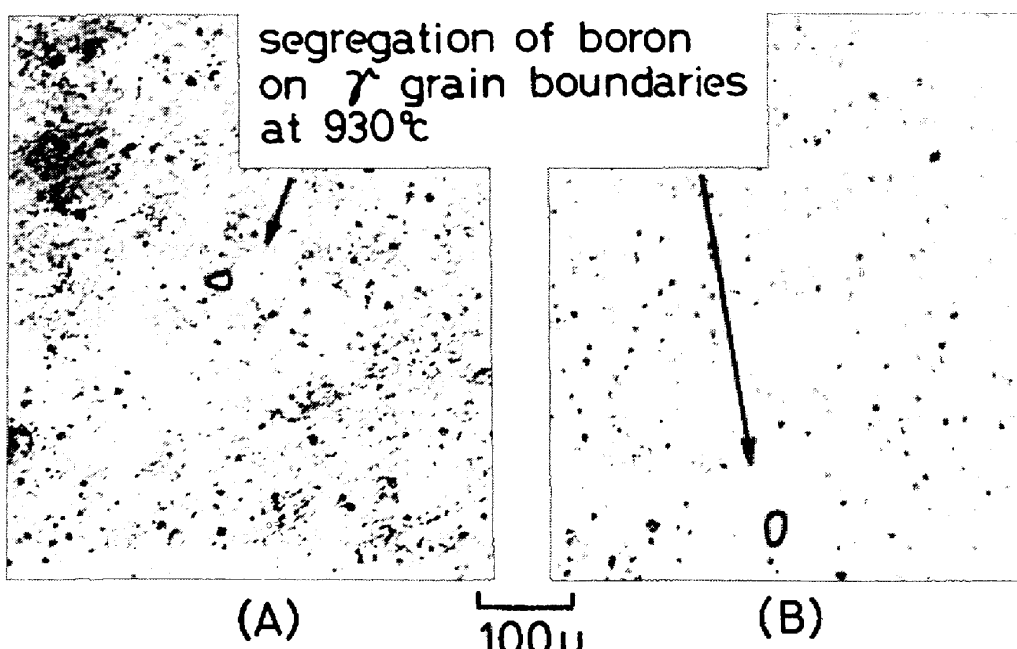


Photo. 4. Images of fission tracks of boron atoms in steels A89 and A59. Heat treatment:  $1000^{\circ}\text{C} \times 1\text{hr WQ} + 930^{\circ}\text{C} \times 20\text{ min WQ}$ . (A) : A89 (N : 74ppm, B : 20ppm)  
(B) : A59 (N : 27ppm, B : 18ppm).

相粒子の回折スポットは認められない。②後述する Photo. 3 の析出物の F T E 像と比較して全く異なる、ことから Photo. 1 の F T E 像は B の通常の意味での析出でなく、粒界への偏析状態を示しているものと考える\*。

しかし粒界近傍の B の存在状態を微細な析出物とする考え方もある<sup>9)</sup>。

Photo. 1 に示した状態の試料を  $930^{\circ}\text{C}$  に再加熱すると、旧  $\gamma$  粒界上に B 析出物として B は析出する。Photo. 3 に観察されるように、塊状の析出物のフィッショントラックの強度と密度は低 N 鋼の A59 より高 N 鋼の A89 の方が高いことがわかる。この塊状の析出物は、前報

\* 以下において偏析は F T E 像において  $\gamma$  粒界にそってほぼ連続した B の分布が認められ、かつ薄膜直接観察および抽出レプリカ観察によっては  $\gamma$  粒界に析出物が認められない状態を、また析出は F T E 像において B の塊状の点列分布が認められる状態をいう。

に示すように、BNである<sup>8)10)</sup>。またPhoto. 3 (B)からわかるように、低N鋼のA59では930°Cに再加熱した際に生じた微細γ粒界に、Bが偏析している。これはN量が低く、旧γ粒界上に生成するBN量が少ないために、ある程度の量の固溶Bが存在し、これが新γ粒界に偏析したものと考えられる。これに対し、高N鋼では大部分のBがBNとして旧γ粒界上に析出し、新たに生成したγ粒界に偏析する固溶B量が不足すると考えられる。

1000°Cに1hr加熱・水冷後、さらに930°Cに20min再加熱・水冷したA80およびA59のFT E像をPhoto. 4に示す。930°Cに再加熱した際に生じた新γ粒界にBが偏析している。典型的な1つのγ粒界を太線で示してある。またγ粒界と無関係にランダムにB析出物が分布している。この析出物はPhoto. 6にも認められる。

圧延時の固溶Bの挙動はこれまで観察されたことはない。圧延から熱処理にいたる各段階のFT E像をPhoto. 5およびPhoto. 6に示す。圧延によって変形あるいは再結晶したγ粒界へのBの偏析挙動は、直接焼入れ法や熱延鋼板へのB鋼の適用においてきわめて重要である。Photo. 5 (A)は高N鋼のA58(N:107ppm)を1300°Cに1hr加熱し、圧延後仕上温度(約1000/1100°C)から水冷したままの、またPhoto. 5 (B)はそれを930°Cに20min再加熱して水冷した試料のFT E像である。Photo. 5 (A)によれば、圧延後再結晶して等方的に

なった微細γ粒界にそつて、Bが偏析していることがわかる。圧延によって変形したγ粒が再結晶し、粒界が移動する際、B原子が粒界に偏析すると考えられる。変形途中、結晶転位のまわりにCやN原子がコットレル霧団気を形成する“dynamic aging”にならえれば、これはB原子の“dynamic segregation”とでも称する現象である。これについては後述する考察で検討する。Photo. 5 (A)の試料を930°Cに20min再加熱すると、Photo. 5 (B)に示すように、再結晶した旧γ粒界にそつてのみ塊状のB析出物が認められ、再加熱時に生成した新γ粒界へのBの偏析は観察されない。

1000°Cに1hr加熱後圧延し、仕上温度(約800°C)から水冷した試料およびそれを930°Cに再加熱後水冷した試料のFT E像をPhoto. 6に示す。(A)および(C)に観察されるように、圧延によって圧延方向に伸長したγ粒界にそつて帶状にBが分布している。Photo. 5の再結晶したγ粒界に認められる鋭いBの偏析と異なり幅の広い帶状の分布となっている。これを930°Cに再加熱した後水冷すると、(B)および(D)に示すように、新たに生じたγ粒界にBは偏析する。(A)と(B)あるいは(C)と(D)を比較することによって、Bの偏析状態の差異が明確となる。Photo. 4に認められる析出物と同様なB析出物がPhoto. 6にも存在する。しかし、Photo. 6の高N鋼のA58では一定方向にそつて点列状にB析出物が在存している。この方向は圧延方向に一致すると考えられる。なお高N鋼のA58はγ粒が非常に微細な

segregation of boron  
on the boundaries of  
γ grains recrystallized  
after hot rolling

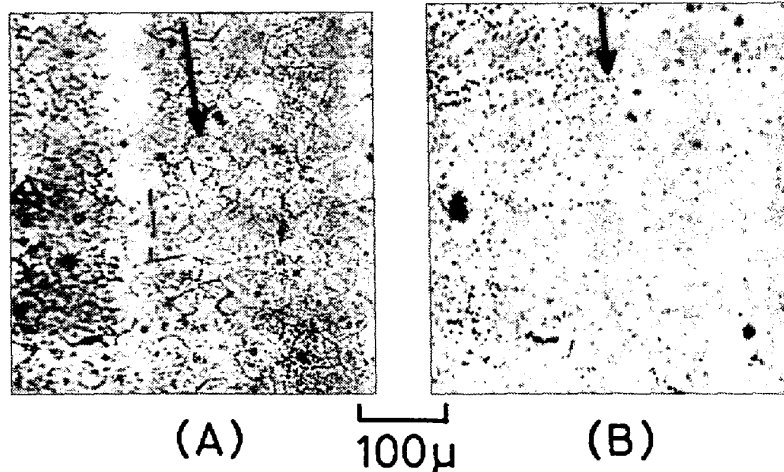


Photo. 5. Images of fission tracks of boron atoms in steel A58 (N: 107ppm, B: 25ppm).  
(A) : 1300°C×1hr rolling (30t→5t) WQ. As rolled. (B) : 1300°C×1hr rolling (30t→5t) WQ+930°C×20 min WQ.

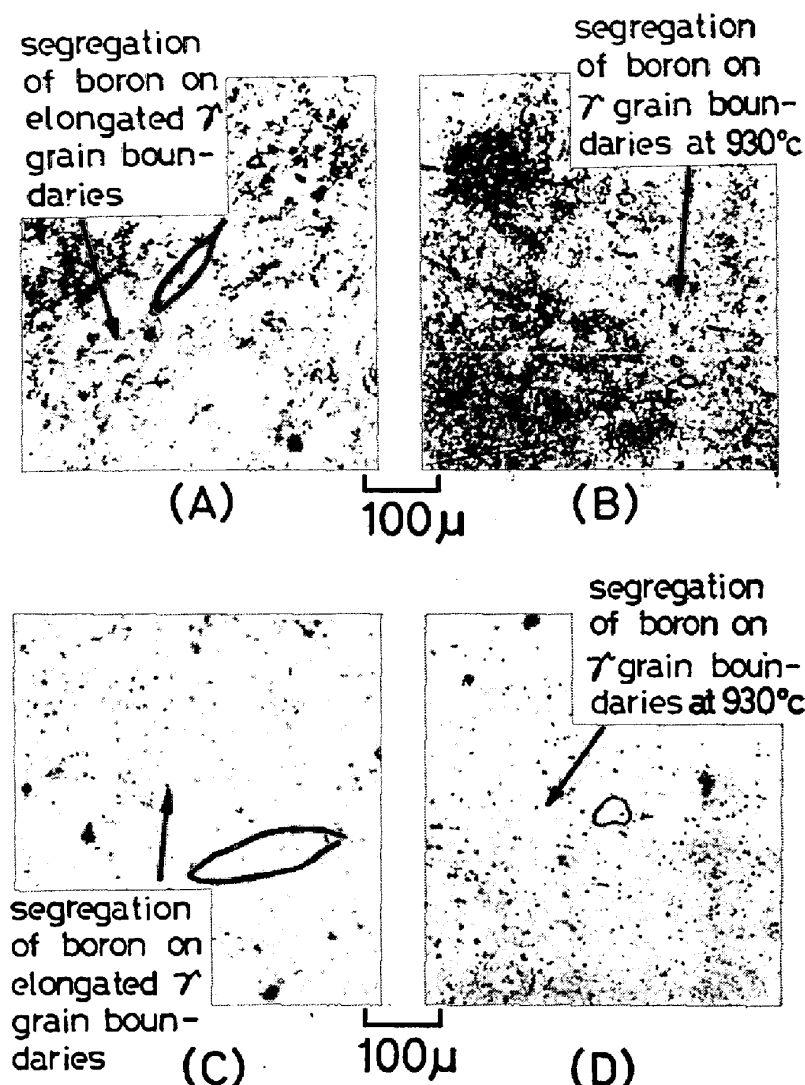


Photo. 6. Images of fission tracks of boron atoms. (A) and (B) : steel A58 (N : 107ppm, B : 25ppm) (C) and (D) : steel A61 (N : 23ppm, B : 22ppm). Hot rolling and heat treatment : (A) and (C) : 1000°C×1hr rolling (30 t → 5 t) WQ. As rolled. (B) and (D) : 1000°C×1hr rolling (30 t → 5 t) WQ+930°C×20 min WQ.

ため、再加熱時に生成したγ粒界にBが偏析している状態を観察するのは容易でないが、(B)において2個のγ粒界を太線で示してある。以上のFTE像と後述の2回焼入れの結果と一緒にまとめるとTable 2のようになる。Table 2によれば、Bの存在形態として、単に固溶している状態を除くと、以下の3種類の状態が考えられる。①粒界の偏析状態、②1300°Cから水冷後、930°Cに再加熱するとき、旧γ粒界上に生成する析出物、③Photo. 4およびPhoto. 6に認められる粒内析出物、高N鋼A58の1000°C加熱後圧延した試料では、一定方向に点列状に分布する。

上記③のB析出物が点列状に並ぶ方向は、圧延方向と考えられるので、1000°Cにおいてすでに存在していたと推定できる。低N鋼では、これらの析出物が密集して

存在していないので、圧延後もランダムな分布となると考えられる。1000°Cに1hr加熱して水冷した試料の抽出レプリカを観察するとBNのみが観察される。Fe-Al-B-N系のBNの析出量をそれぞれDARKENら<sup>11)</sup>およびFOUNTAINら<sup>14)</sup>によるFe-Al-N系およびFe-B-N系の平衡溶解度積を用いて計算すると、以下となる。全B量: 20ppm、全Al量: 0.07% および全N量: 30ppmとすると1000°Cにおいては全B量の約40%すなわち8ppmがBNとしてのBとして析出する。また同じく1000°Cにおいて、全B量: 20ppm、全Al量: 0.07% および全N量: 100ppmとすると、全B量の約60%すなわち12ppmがBNとしてのBとして析出する。以上から、1000°Cに加熱した試料の粒内に点在するB析出物は、BNと考えられる。1000°Cに加熱

Table 2. Distribution of boron atoms observed in fission track etching images.

| Hot rolling and heat treatment                   | Distribution of boron atoms  |
|--|--|
| 1 300°C × 1hr WQ                                 | 1. Segregate to $\gamma$ grain boundaries.   |
| 1 000°C × 1hr WQ                                 | 1. Segregate to $\gamma$ grain boundaries.<br>2. Random distribution of precipitates.  |
| 1 300°C × 1hr WQ<br>+ 930°C × 20 min WQ          | 1. Precipitate on prior $\gamma$ grain (at 1 300°C) boundaries. The intensity of fission tracks of these precipitates in high N steel is stronger than that in low N steel.<br>2. Segregate to newly formed $\gamma$ grain (at 930°C) boundaries in low N steel while in high N steel they do not segregate. |
| 1 000°C × 1hr WQ<br>+ 930°C × 20 min WQ          | 1. Segregate to newly formed $\gamma$ grain (at 930°C) boundaries.<br>2. Random distribution of precipitates.  |
| 1 300°C × 1hr WQ<br>+ 1 000°C × 20 min WQ        | 1. Reduction of the intensity and density of fission tracks of precipitates on prior $\gamma$ grain boundaries.<br>2. Segregate to newly formed $\gamma$ grain (at 1 000°C) boundaries.  |
| 1 300°C × 1hr<br>→rolling WQ                     | 1. Segregate to the boundaries of equiaxed $\gamma$ grains which resulted from recrystallization after hot rolling.  |
| 1 000°C × 1hr<br>→rolling WQ                     | 1. Distribute widely along the elongated $\gamma$ grain boundaries.<br>2. Precipitates in low N steel distribute randomly while those in high N steel line into rows.  |
| 1 300°C × 1hr →rolling WQ<br>+ 930°C × 20 min WQ | 1. Precipitate on prior recrystallized $\gamma$ grain boundaries. The intensity of fission tracks of these precipitates in high N steel is stronger than that in low N steel.<br>2. Segregate to newly formed $\gamma$ grain (at 930°C) boundaries in low N steel while in high N steel they do not.         |
| 1 000°C × 1hr →rolling WQ<br>+ 930°C × 20 min WQ | 1. Segregate to newly formed $\gamma$ grain (at 930°C) boundaries.<br>2. Precipitates in low N steel distribute randomly while in high N steel line into rows.   |

することによって凝集粗大化し、特に 1 000°C 加熱材ではつきり識別できると考えられる。

Photo. 7 に、1 300°C に 1hr 加熱して水冷後、1 000°C および 1 100°C に 20 min 加熱して水冷した A89 および A59 の F T E 像を示す。高温加熱後の 1 回目焼入温度 1 000°C に相当する(A)および(C)においては、旧  $\gamma$  粒界上の BN のフィッショントラックの強度および密度は減少し、かつ 1 000°C 加熱時に生成した新  $\gamma$  粒界に BN の偏析で認められる。特に低 N 鋼の A59 (C) では旧  $\gamma$  粒界上の BN 析出物はわずかに識別できるだけである。高温加熱後の 1 回目焼入温度 1 000°C に相当する熱処理を行なつた(B)および(D)では、もはや旧  $\gamma$  粒界上に BN は認められず、新  $\gamma$  粒界にのみ BN の偏析が認められる。1 回目焼入温度をより高温にすると、高温加熱を行なつことと同様になり、2 回目焼入時に 1 回目焼入時の  $\gamma$  粒界に BN を生成すると考えられる。

高温加熱 (1 300°C) 後 2 回焼入れした試料の F T E 像を Photo. 8 に示す。1 回目焼入温度 930°C と 1 000°C とを比較すると、1 000°C の方が旧  $\gamma$  粒界上の BN 析出物 (BN) のフィッショントラックの強度および密

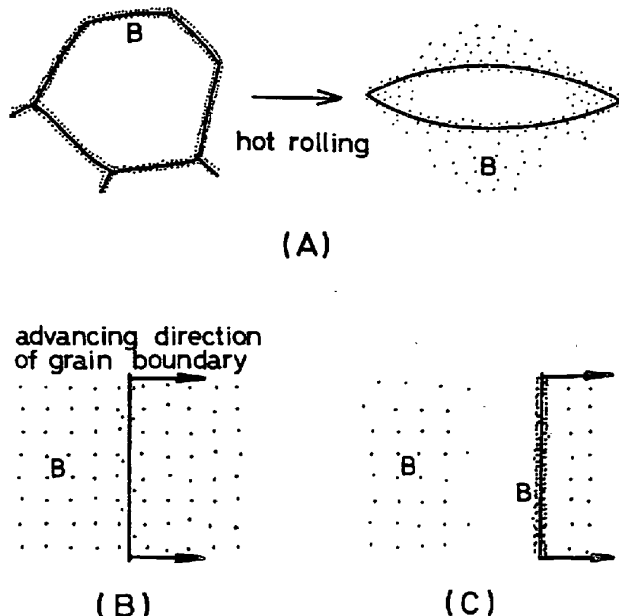


Fig. 1. Schematic representations of distribution of boron atoms (A) during hot rolling where moving velocity of boundary is much higher than boron atoms (B) just after hot deformation and (C) after boundary migration due to recrystallization.

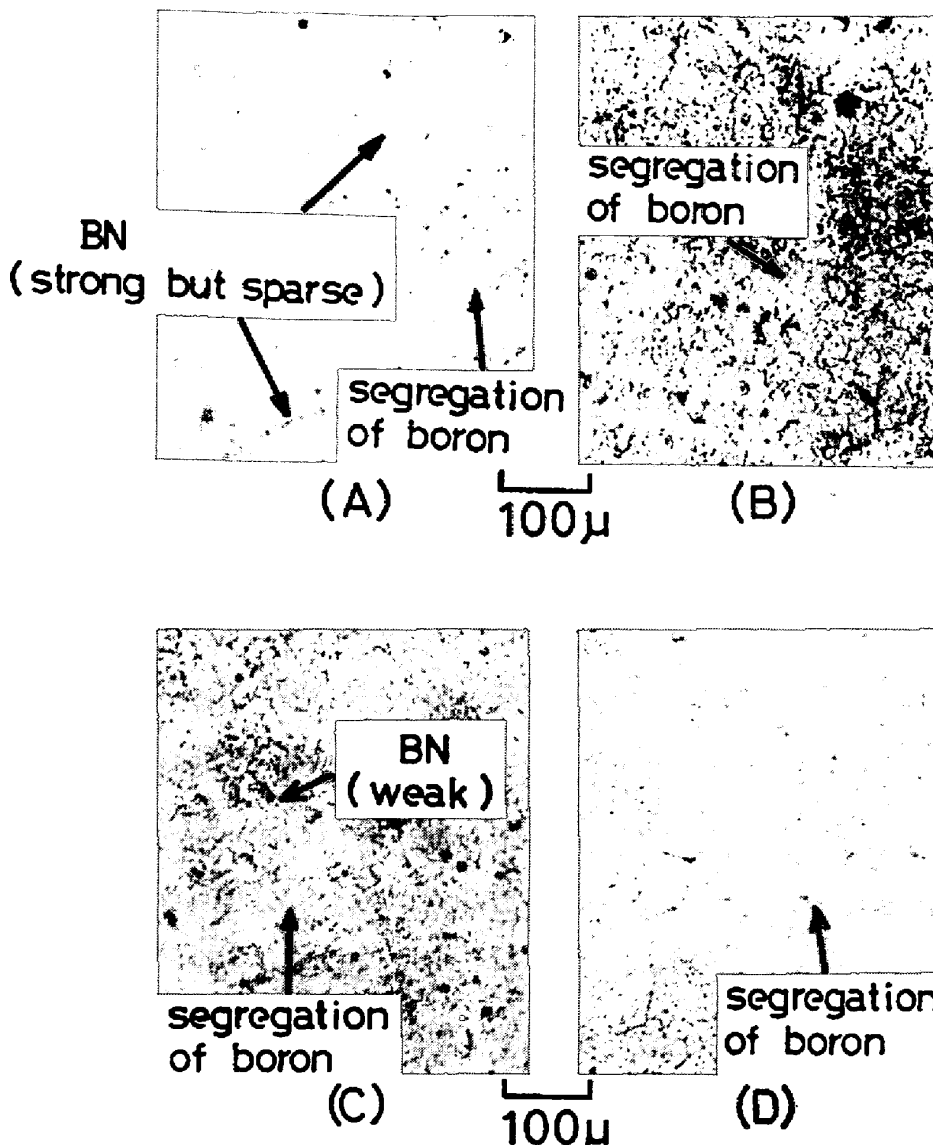


Photo. 7. Images of fission tracks of boron atoms. (A) and (B) : steel A89 (N : 74ppm, B : 20ppm) (C) and (D) : steel A59 (N : 27ppm, B : 18ppm)  
Heat treatment : (A) and (C) 1300°C × 1hr WQ + 1000°C × 20 min WQ. (B) and (D) : 1300°C × 1hr WQ + 1100°C × 20 min WQ.

度が低下し、2回目焼入時の $\gamma$ 粒界にBが偏析していることがわかる。

#### 4. 考察

熱間加工中あるいは加工後の $\gamma$ 粒の再結晶挙動を、Photo. 5およびPhoto. 6をもとに考察すると、Fig. 1のようになる。熱間加工前1000°C近傍においては、Bは $\gamma$ 粒界に著しく偏析していると考えられる。これを圧延するとき、圧下時の歪速度は1000~7000%/secという速い速度であるため、 $\gamma$ 粒界もこれに対応して高速で変形すると考えられる。このため、 $\gamma$ 粒界に偏析していたB原子は $\gamma$ 粒界の移動に追随できず<sup>13)</sup>、マトリックス

中にかなりの量がとり残されると考えられる。変形時の $\gamma$ 粒界の移動にB原子が追随できるか否かは、 $\gamma$ 粒界の移動速度と $\gamma$ 粒界にトラップされたB原子の拡散速度との競合で決まると考えられる。B原子のこの拡散速度は体積拡散速度ではなく、粒界拡散速度に近いものと考えられる。Photo. 6においては、B原子は圧延によって変形した $\gamma$ 粒界には沿つて分布しているものの、かなり幅広く分布しているので、Photo. 6における仕上温度800°Cでは $\gamma$ 粒界の変形速度はB原子の粒界拡散速度を上まわっていると考えられる。このような知見は、直接焼入れ法における仕上温度と焼入温度の設定、あるいは熱延高張力鋼板の巻取り温度などに、重要な関心を喚起するも

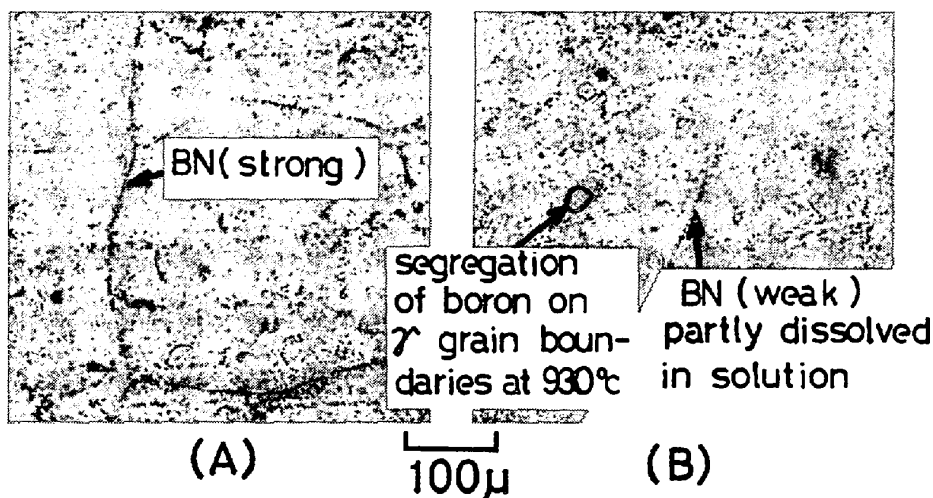


Photo. 8. Images of fission tracks of boron atoms in steel A89 (N : 74ppm, B : 20ppm). Heat treatment : (A) : 1300°C × 1hr WQ + 930°C × 20 min WQ (1st) + 930°C × 20 min WQ (final). (B) : 1300°C × 1hr WQ + 1000°C × 20 min WQ (1st) + 930°C × 20 min WQ (final).

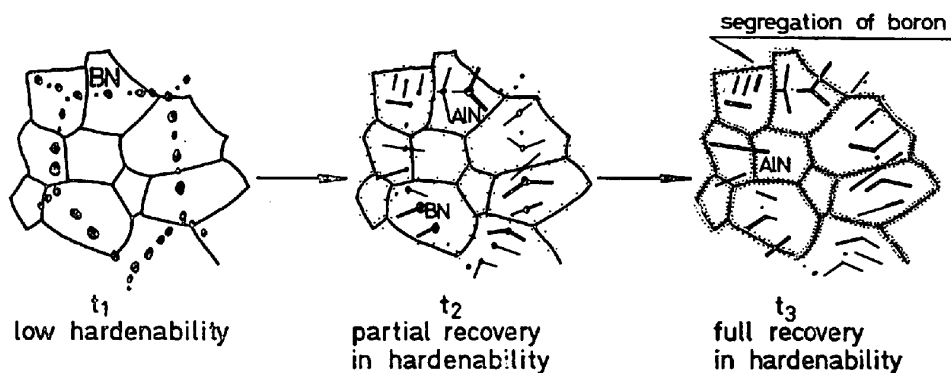


Fig. 2. Schematic representations of boron distributions in course of reheating above  $Ac_3$  after cooling from 1300°C.  
 Holding time above  $Ac_3$  point:  $t_1 < t_2 < t_3$ .

のと考える。また熱間圧延後の再結晶時の粒界へのBの偏析挙動はFig. 1(B)および(C)のように考えられる。再結晶時の粒界移動速度は圧延仕上時(1000~1100°C)においてはB原子の体積拡散速度よりかなり速いが、B原子の粒界拡散速度を上まわる圧延時の粒界移動速度ほど速くないため、B原子は $\gamma$ 粒界にトラップされ粒界移動に追随して移動すると考えられる。このためPhoto. 5(A)に認められるように再結晶後の $\gamma$ 粒界にそつて鋭いBの像が得られる。BUSBY<sup>13)</sup>および大森<sup>14)</sup>のデータから1000°CにおけるB原子の体積拡散による移動距離および再結晶時の粒界移動距離(いずれも1sec間)を求めると、それぞれ7μおよび125μとなりB原子の体積拡散速度<粒界移動速度となつてゐる。しかしB原子の粒界拡散速度は体積拡散速度よりかなり速いと推定されるものの測定データがきわめて少ないので粒界移動速度とどのような関係にあるかは明確な検討はしがたい。

本実験結果では1000°C近傍ではB原子の粒界拡散速度 $\geq$ 粒界移動速度と考えられる。

より低温度で再結晶する時、温度の低下につれ粒界移動速度はB原子の体積拡散速度より急激に遅くなるため粒界がB原子をトラップする過程よりもB原子が体積拡散によって粒界に偏析してくる過程の比重が増すと考えられる。

B原子にのみこのような現象が生じるのは、①マトリックス中への溶解度に比べて $\gamma$ 粒界の溶解度が高いこと、②再結晶時、粒界にそつた拡散速度が粒界移動速度より遅くないこと、が必要と考えられるC原子は②の条件は満たすが①の条件は明確に満足すると考えられないでの、C原子においてはこのようなdynamic segregationは認めにくいと考えられる。

Photo. 3あるいはPhoto. 5(B)に示すように1300°Cに加熱・水冷後、 $Ac_3$ 点以上に再加熱すると、旧 $\gamma$

粒界上に塊状のB析出物を生成する。1000°C程度まで昇温すると、この析出物のフィッショントラックの強度および密度はPhoto.7に示すように減少し、その時点で存在しているγ粒界に偏析する。前報<sup>8,10)</sup>で示したように、このときB析出物(BN)上にAlNが生成しAlNの成長につれBNは減少している。本実験結果と前報の結果を合わせて考察するとFig.2に示すようなBの挙動が考えられる。旧γ粒界近傍で一度生成したBN上にAlNが核発生し、Bは解離してγ中に固溶し、γ粒界に偏析する。Photo.8に示すように、1回目焼入条件が930°C×20minと1000°C×20minで大きな差が生じるのは1000°CにおけるBN上でのAlNの成長速度が930°Cでのそれより速いためと考えられる。高N鋼で、高温加熱によって焼入性の低下したもの回复させるには、Fig.2と同様な処理を行なえばよい。

## 5. まとめ

1) 熱間圧延中のB原子のγ粒界への偏析挙動はB原子の体積拡散速度、粒界拡散速度およびγ粒界の移動速度によって決まると考えられる。

熱間圧延前、Bはγ粒界に偏析しているが、熱間圧延によって粒界が高速で移動するので、Bはそれに追随できず、粒界の後方にとり残される。このため、圧延によって伸長したγ粒界にそつてB原子は帯状に分布する。高温(1000/1100°C)仕上時にγ粒界が圧延後再結晶によって移動するとき、γ粒界の移動速度はB原子の体積拡散速度よりもはるかに速いが、B原子の粒界拡散速度を上まわる圧延時の変形速度ほど速くないために、マトリックス中のBはγ粒界通過時に粒界にトラップされる。より低温度で再結晶するとき、温度の低下につれ粒界移動速度はB原子の体積拡散速度よりも急激に遅くなるため粒界がB原子をトラップする過程よりもB原子が体積拡散によって粒界に偏析していく過程の比重が増すと考えられる。

γ粒界にトラップされたB原子のフィッショントラック像は鋭く、著しい偏析を示している。

2) 1300°Cに1hr加熱後水冷した試料においてはBはγ粒界に偏析していると考えられる。薄膜直接観察による粒界近傍の明視野像および回折パターンには第2相粒子の存在は認められなかつた。

3) 上記の状態の試料を、930°Cに再加熱すると、旧

γ粒界上に塊状のB析出物(BN)を生成する。この析出物のフィッショントラックの強度および密度はN含有量の高い鋼の方が高い。そのとき、930°C加熱時に生成した新γ粒界へのBの偏析は、低N(<30ppm)鋼では認められるが、高N鋼では認められない。

4) 3)の状態の試料を1000°C近傍まで加熱すると、旧γ粒界上のB析出物のフィッショントラックの強度および密度は減少する。そして高N鋼においても新たに生成したγ粒界にBの偏析が認められる。前報の結果と考え合わせると、旧γ粒界上のBNの上にAlNが生成したためにBがγ中に固溶し、新γ粒界に偏析すると考えられる。

おわりに本論文の発表を許可された住友金属工業(株)取締役中央技術研究所長小田尚輝博士および本研究に対し多大の御激励を賜わった同所次長近藤豊博士にあつて御礼申し上げます。またフィッショントラック・エッティング法を御教授下さり中性子照射について便宜をはかつて下さった日本原子力研究所材料工学研究室長近藤達男博士ならびに中島甫研究員に深く感謝致します。

## 文献

- 1) 川崎、菱沼、長崎: 金属学会、昭和43年秋期大会講演概要, p. 314
- 2) W. F. JADESKA Jr. and J. E. MORRAL: Met. Trans., 3(1972), p. 1233
- 3) S. R. KEOWN: Scand. J. Met., 2(1973), p. 59
- 4) M. UENO and T. INOUE: Trans. ISIJ, 13(1973), p. 210
- 5) A. BROWN, J. D. GARNISH, and R. W. K. HONEYCOMB: Science, 8(1974), p. 317
- 6) Ph. MAITREPERRIER, D. THIVELLIER, and R. TRICOT: Met. Trans., 6A(1975), p. 287
- 7) T. M. WILLIAMS, A. M. STONEHAM, and D. R. HARRIES: Metal Science, 10(1976), p. 14
- 8) 井関、済木、酒井、中村、大谷、渡辺: 住友金属27(1975), p. 23
- 9) R. C. SHARMA and G. R. PURDY: Met. Trans., 5(1974), p. 939
- 10) 渡辺、大谷: 鉄と鋼, 投稿中
- 11) L. S. DARKEN, R. P. SMITH, and E. W. FILER: Journal of Metals, 3(1951), p. 1174
- 12) R. W. FOUNTAIN and J. CHIPMAN: Trans. Met. Tec. AIME, 224(1962), p. 559
- 13) P. E. BUSBY, C. WELLS, and M. E. WARGA: Trans. AIME, 197(1953), p. 1463
- 14) 大森: 日本国金属学会誌, 30(1966), p. 1164